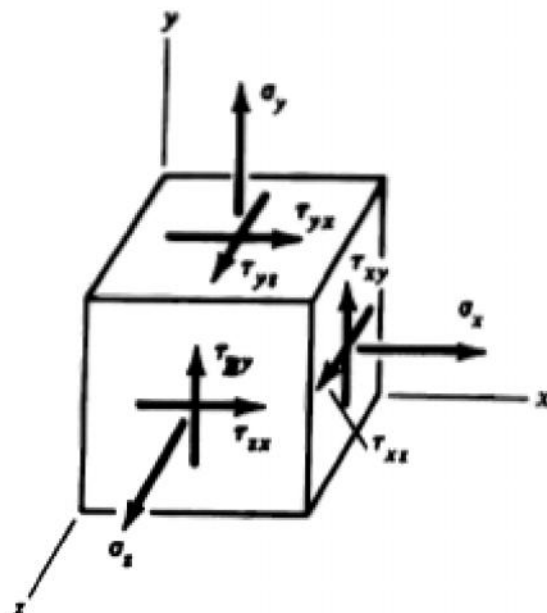
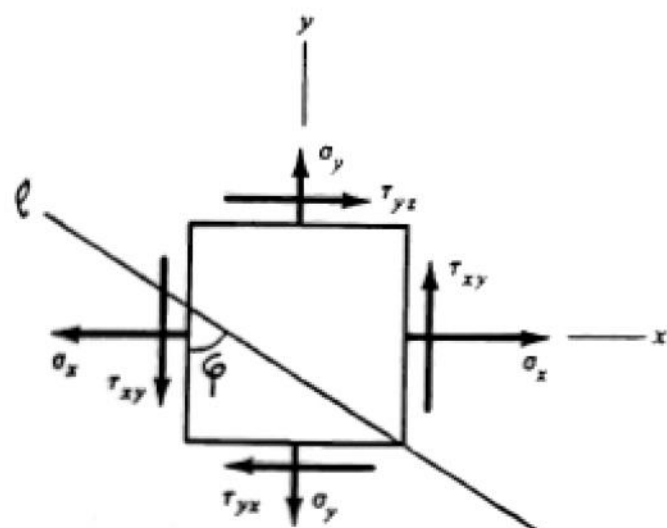


ΤΑΣΕΙΣ



ΤΡΙΔΙΑΣΤΑΤΟ ΣΤΟΙΧΕΙΟ
ΤΑΣΕΩΝ

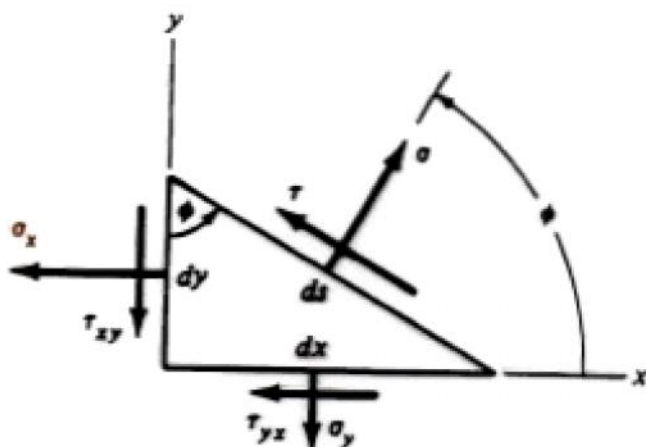


ΔΙΓΔΙΑΣΤΑΤΟ ΣΤΟΙΧΕΙΟ
ΤΑΣΕΩΝ

ΟΛΟΙ ΟΙ ΤΑΣΕΙΣ ΘΕΤΙΚΕΣ

ΕΙΣΙΣΩΣΕΙΣ ΤΑΣΕΩΝ

- Κόριζουλες ως διαδιάστατο
- Ισορροπία δυνάμεων
- Προσδιορισμός σ , τ .



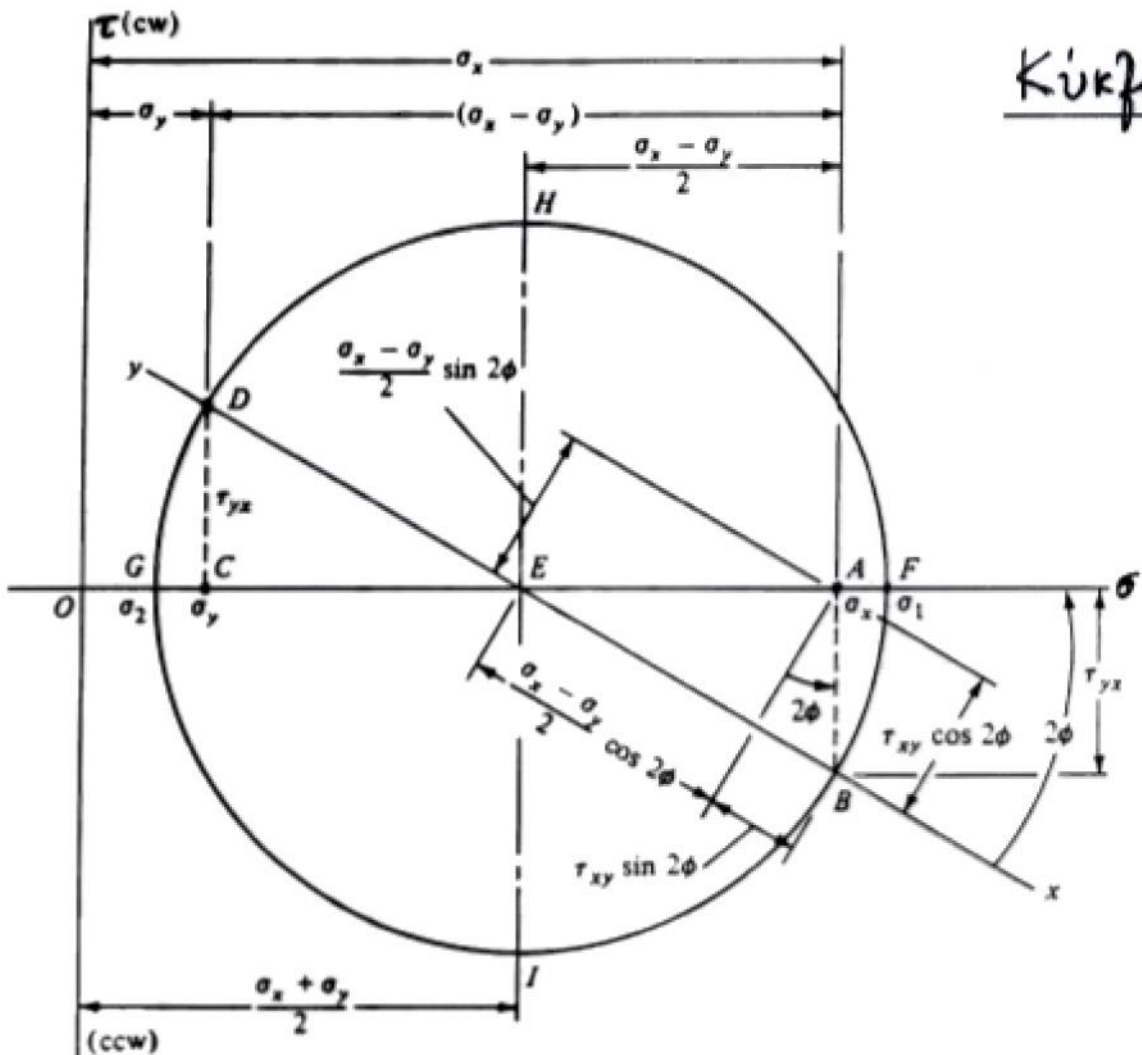
$$\sigma = \frac{\sigma_x + \sigma_y}{2} + \frac{\sigma_x - \sigma_y}{2} \cos 2\varphi + \tau_{xy} \sin 2\varphi$$

$$\tau = -\frac{\sigma_x - \sigma_y}{2} \sin 2\varphi + \tau_{xy} \cos 2\varphi$$

● $\frac{d\sigma}{d\varphi} = 0$ ή $\tan 2\varphi = \frac{2\tau_{xy}}{\sigma_x - \sigma_y}$ οπούτε $\left\{ \begin{array}{l} \sigma_1, \sigma_2 = \frac{\sigma_x + \sigma_y}{2} \pm \sqrt{\left(\frac{\sigma_x - \sigma_y}{2}\right)^2 + \tau_{xy}^2} \\ \tau = 0 \end{array} \right.$

● $\frac{d\tau}{d\varphi} = 0$ ή $\tan 2\varphi = -\frac{\sigma_x - \sigma_y}{2\tau_{xy}}$ οπούτε $\left\{ \begin{array}{l} \tau_1, \tau_2 = \pm \sqrt{\left(\frac{\sigma_x - \sigma_y}{2}\right)^2 + \tau_{xy}^2} \\ \sigma = \frac{\sigma_x + \sigma_y}{2} \quad \text{ή} \quad \sigma_1 = \sigma_2 \end{array} \right.$

Kύριος Mohr's



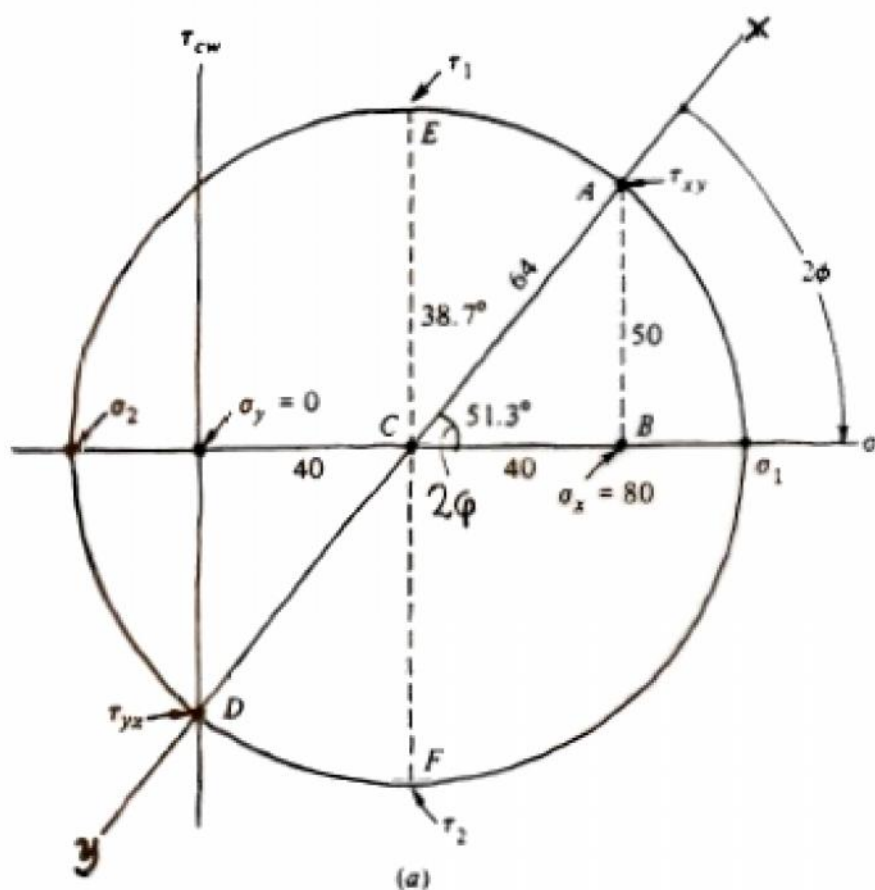
Γραφική αναπαράσταση των

$$\left\{ \begin{array}{l} \sigma = \{(\sigma_x, \sigma_y, \tau_{xy}, \varphi) \\ \tau = \{(\sigma_x, \sigma_y, \tau_{xy}, \varphi) \end{array} \right.$$

Παράδειγμα: $\sigma_x = 80 \text{ MPa}$, $\tau_{xy} = 50 \text{ MPa}$

$$(a) \sigma_1 = ? , \sigma_2 = ?$$

$$(b) \tau_1 = ? , \tau_2 = ?$$



$$AC = \sqrt{50^2 + 40^2} = 64$$

$$\sigma_1 = 40 + 64 = 104$$

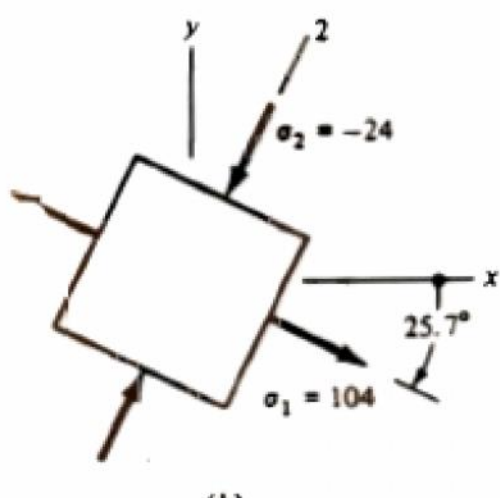
$$\sigma_2 = 40 - 64 = -24$$

$$2\phi = \tan^{-1} \frac{50}{40} = 51.3^\circ$$

$$\therefore \phi = 25.7^\circ$$

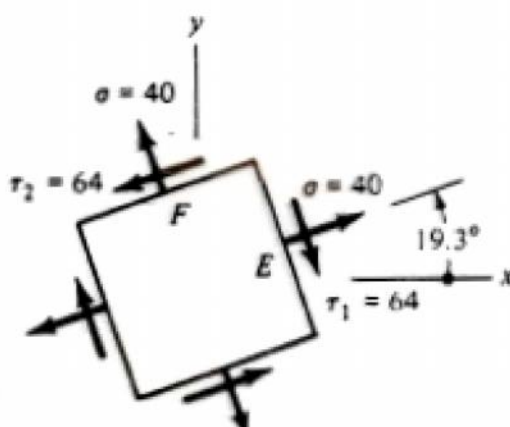
$$\tau_1 = 64$$

$$\tau_2 = -64$$



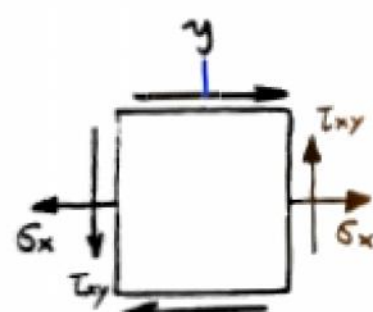
(b)

Kύριος τάσης
Διάρθρωση = 0



(c)

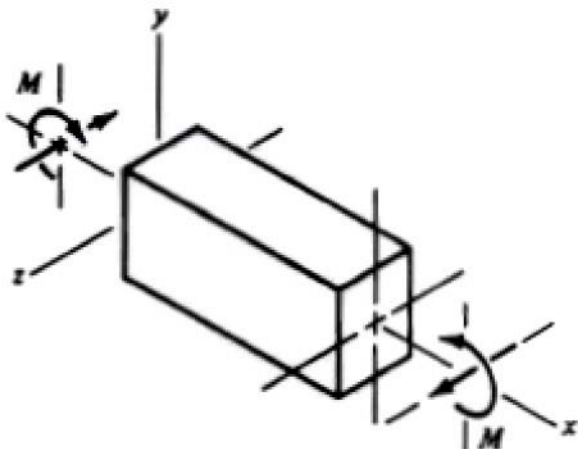
Μέγιστη
Διαρθρωτική
Τάση



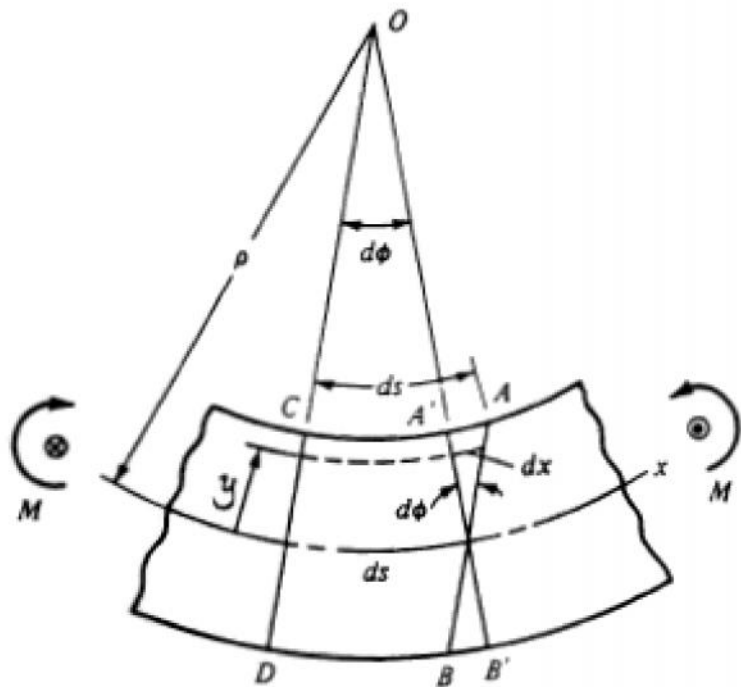
Αρχικά
Δεδομένα.

5

ΟΡΘΕΣ ΤΑΣΕΙΣ ΣΤΗΝ ΚΑΜΨΗ.

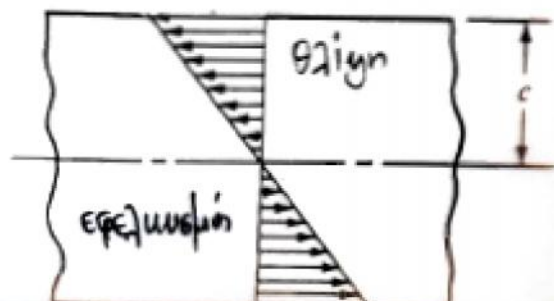


(a)



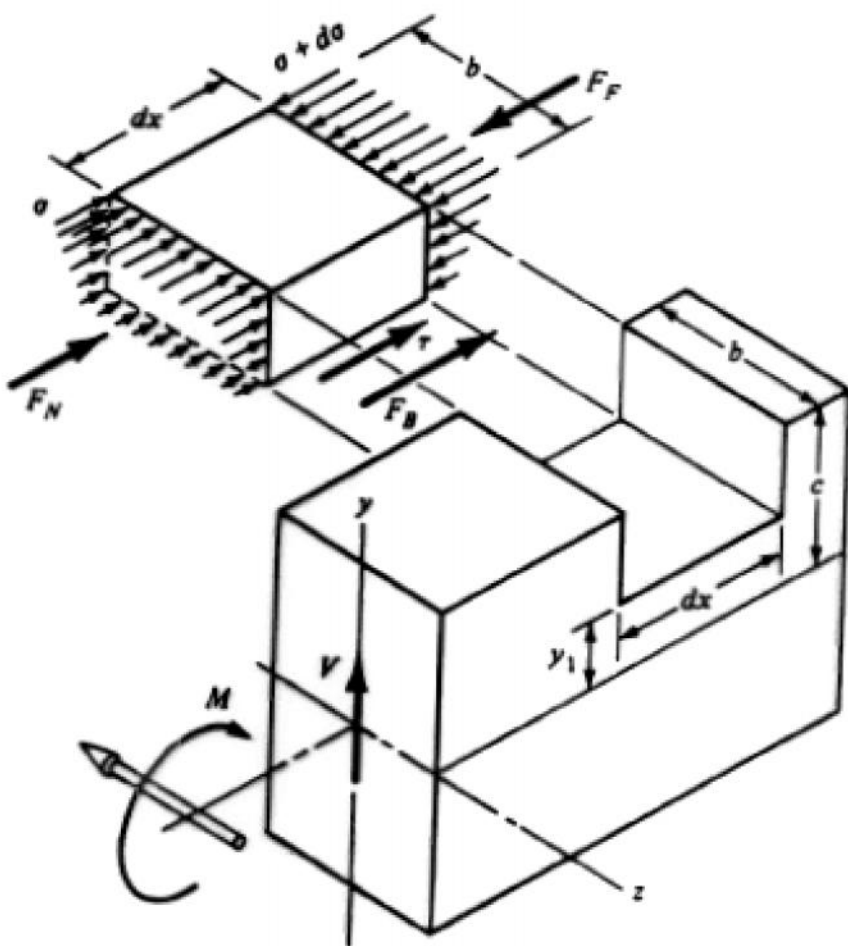
(b)

- $\frac{1}{\rho} = \frac{dy}{ds}$, $dx = y d\phi$, $\epsilon = -\frac{dx}{ds}$
- $\frac{1}{\rho} = \frac{dy}{ds} = \frac{dx}{y ds} = -\frac{\epsilon}{y} \quad \therefore \epsilon = -\frac{y}{\rho}$
- $\sigma = E \epsilon = E \left(-\frac{y}{\rho}\right) = -\frac{Ey}{\rho} \quad \textcircled{1}$
- Δεν υπάρχουν αξονικές δυνάμεις, δηλαδή
- $\int_A \sigma dA = -\frac{E}{\rho} \int_A y dA = 0$
- Οι διπλικουργουμένες από τις τάσεις ποτέ λειτουργούν με Μ.
- $M = \int_A y \sigma dA = \int_A y \frac{Ey}{\rho} dA = \frac{E}{\rho} \int_A y^2 dA = \frac{EI}{\rho}$
- $\therefore \frac{1}{\rho} = \frac{M}{EI}$
- οπότε $\textcircled{1} \sigma = \frac{Mc}{I}$, $c = y_{\max}$



ΔΙΑΤΜΗΤΙΚΕΣ ΤΑΣΕΙΣ ΣΕ ΔΟΚΟΥΣ

⑥



$$V = \frac{dM}{dx}$$

$$\bullet F_N = \int_{y_1}^c G dA = \frac{M}{I} \int_{y_1}^c y dA$$

$$\bullet F_F = \int_{y_1}^c (G + dG) dA = \frac{M + dM}{I} \int_{y_1}^c y dA$$

$$\bullet F_B = \tau b dx \quad \textcircled{1}$$

$$\underline{\sum F = 0 \quad \therefore F_N - F_F + F_B = 0}$$

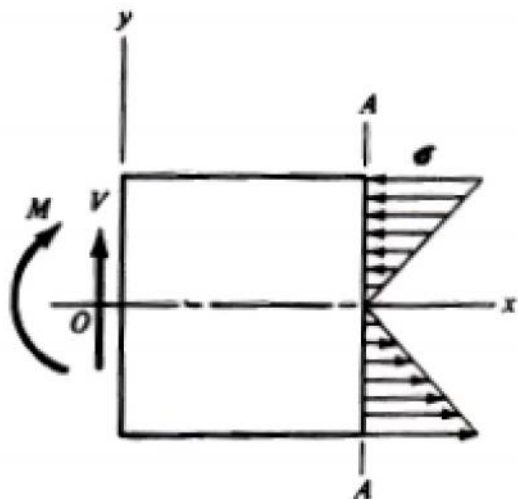
$$\therefore F_B = F_F - F_N = \dots =$$

$$= \frac{dM}{I} \int_{y_1}^c y dA \quad \textcircled{2}$$

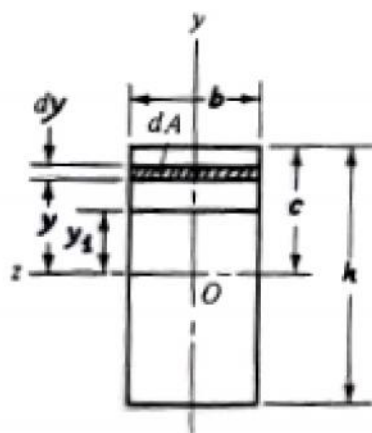
$$\bullet \tau = \frac{dM}{dx} \frac{1}{Ib} \int_{y_1}^c y dA$$

$$\therefore \tau = \frac{V}{Ib} \int_{y_1}^c y dA = \frac{VQ}{Ib}$$

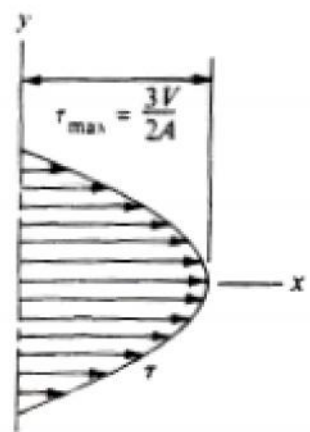
ΔΙΑΤΜΗΤΙΚΕΣ ΤΑΣΕΙΣ ΣΕ ΟΡΘΟΓΩΝΙΚΗΣ ΔΙΑΤΟΜΗΣ



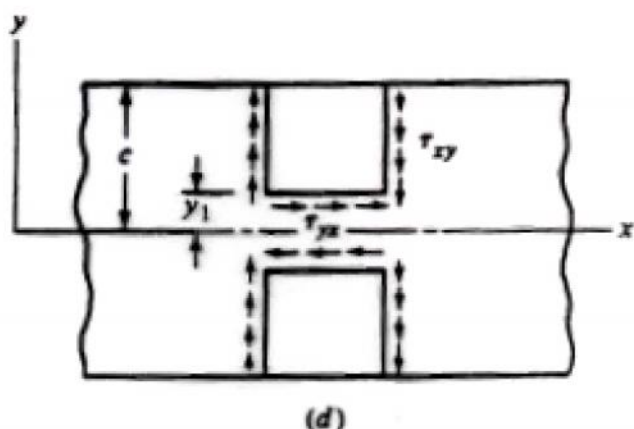
(a)



(b)



(c)



(d)

- $$Q = \int_{y_1}^c y dA = \int_{y_1}^c y b dy = \frac{by^2}{2} \Big|_{y_1}^c = \frac{b}{2} (c^2 - y_1^2)$$

- $$\tau = \frac{V}{2I} (c^2 - y^2)$$

- $$\tau = \frac{3V}{2A} \left(1 - \frac{y^2}{c^2} \right) , \text{ επειδή } I = \frac{bh^3}{12} = \frac{A4c^2}{12} = \frac{Ac^2}{3}$$



$$\tau_{max} = \frac{3V}{2A}$$



$$\tau_{max} = \frac{2V}{A}$$

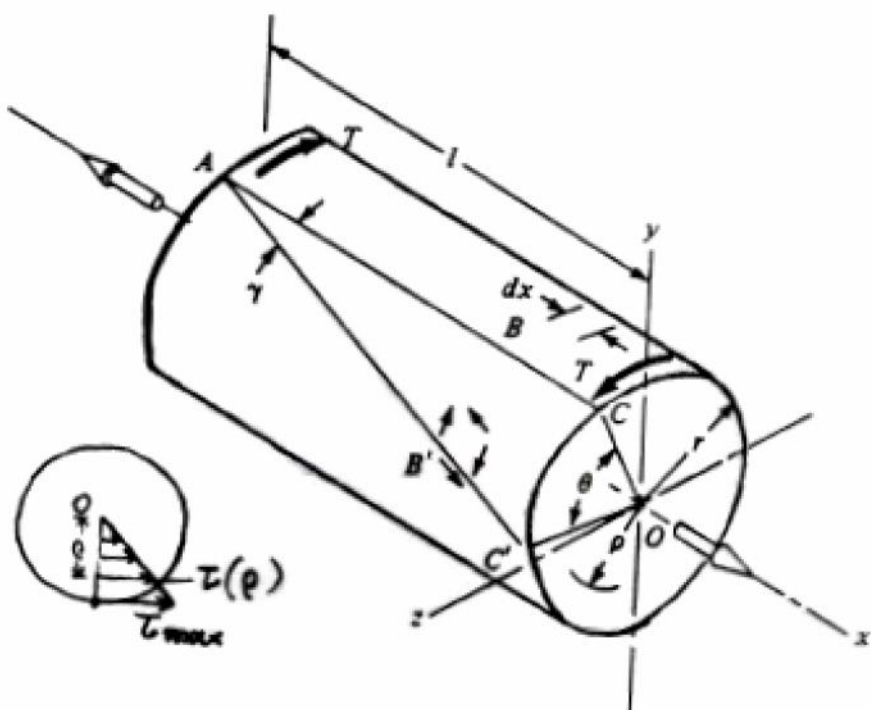


$$\tau_{max} = \frac{4V}{3A}$$



$$\tau_{max} = \frac{V}{A}$$

ΣΤΡΕΨΗ



$$\bullet \theta = \frac{Tl}{GJ}$$

$$\bullet T = \frac{\tau}{J} \rho$$

$$T_{\max} = \frac{T}{J} \cdot r$$

πώρο για μηλίκιν διατούρματα

$$J = \frac{\pi d^4}{32} \quad \text{ή} \quad J = \frac{\pi}{32} (d_o^4 - d_i^4)$$

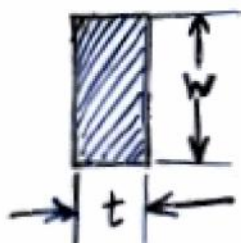
Σε άξονες περιστρεφόμενους με ω , μεταφέρνεται το τύχο N

$$T = \frac{N}{\omega} * (Nm)$$

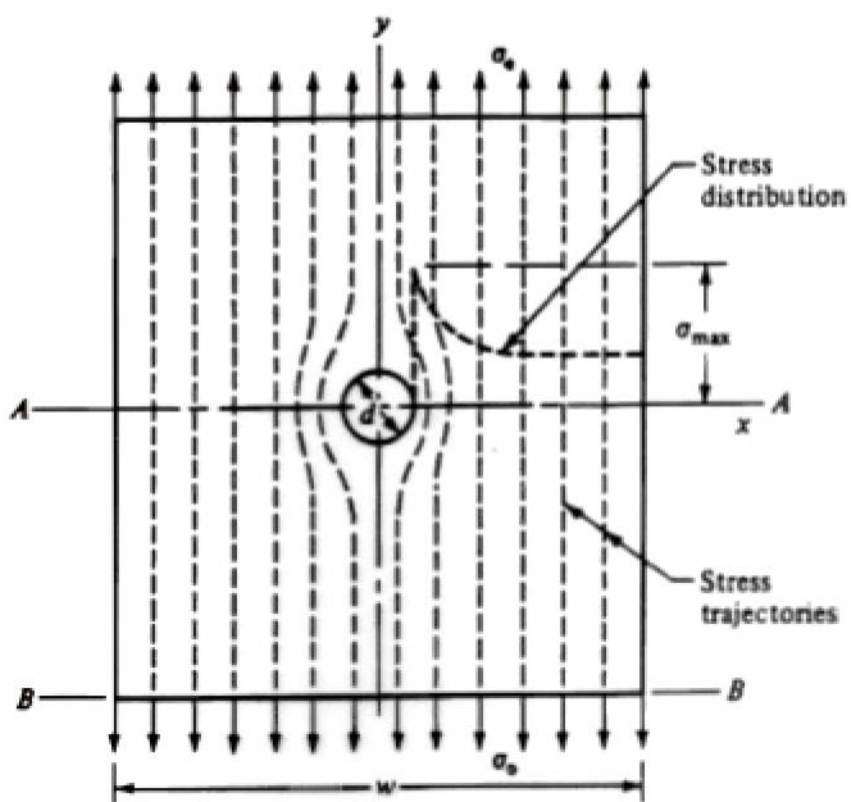
$$\text{ή } T = 71620 \frac{N}{\eta} * (\text{kP.cm}) = 71620 \frac{(\text{HP})}{(\text{RPM})}$$

- Για μη μηλίκιν διατούρματα : πεπεραστήρα στοιχεία
- Για ορθογώνικά διατούρματα : προσεχής επίλογοι

$$T_{\max} = \frac{T}{wt^2} \left(3 + 1.8 \frac{t}{w} \right)$$



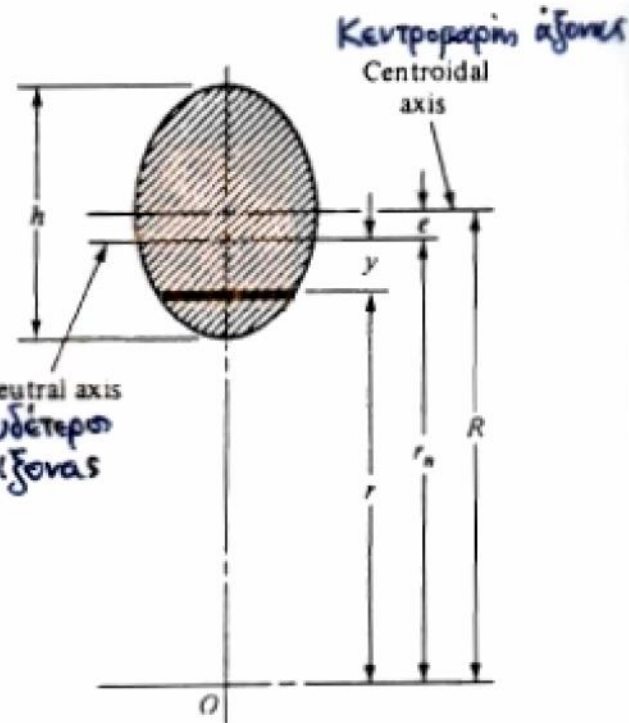
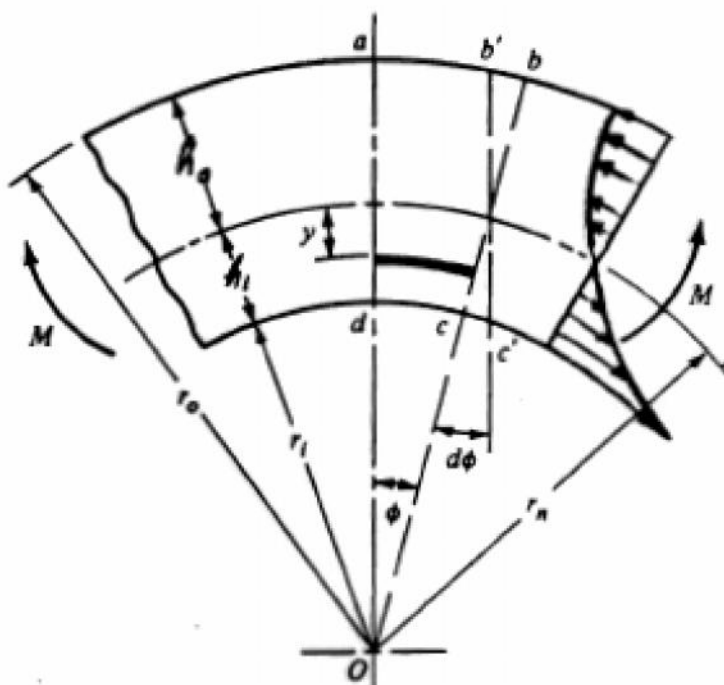
ΣΥΓΚΕΝΤΡΩΣΗ ΤΑΣΕΩΝ



Θεωρητικό in γεωμετρίας
λυντρήσιμη Σύγκεντρη. Τάση

- $$K_t = \frac{\sigma_{max}}{\sigma_0}$$
- $$k_{ts} = \frac{\tau_{max}}{\tau_0}$$

ΤΑΣΕΙΣ ΣΕ ΚΑΜΠΟΜΕΝΕΣ, ΚΑΜΠΥΛΕΣ ΔΟΚΟΥΣ



- Κεντροβαρίς και ουδέτερος αξόνας δὲν ευθύπιπτους.

$$r_n = \frac{A}{\int \frac{dA}{r}} \quad \text{και} \quad e = R - r_n$$

$$\bullet \quad \sigma = \pm \frac{My}{Ae(r_n \pm y)}, \quad \sigma_i = \frac{Mhi}{Aer_i} \quad \text{και} \quad \sigma_o = -\frac{Mho}{Aer_o}$$

$\downarrow \quad \quad \quad \downarrow$

$$r_i = r_n - hi \quad \quad \quad r_o = r_n + ho$$

ΣΥΓΚΡΕΤΩΣΗ ΤΑΣΗΣ ΣΕ ΕΛΛΕΙΠΤΙΚΗ ΟΠΗ

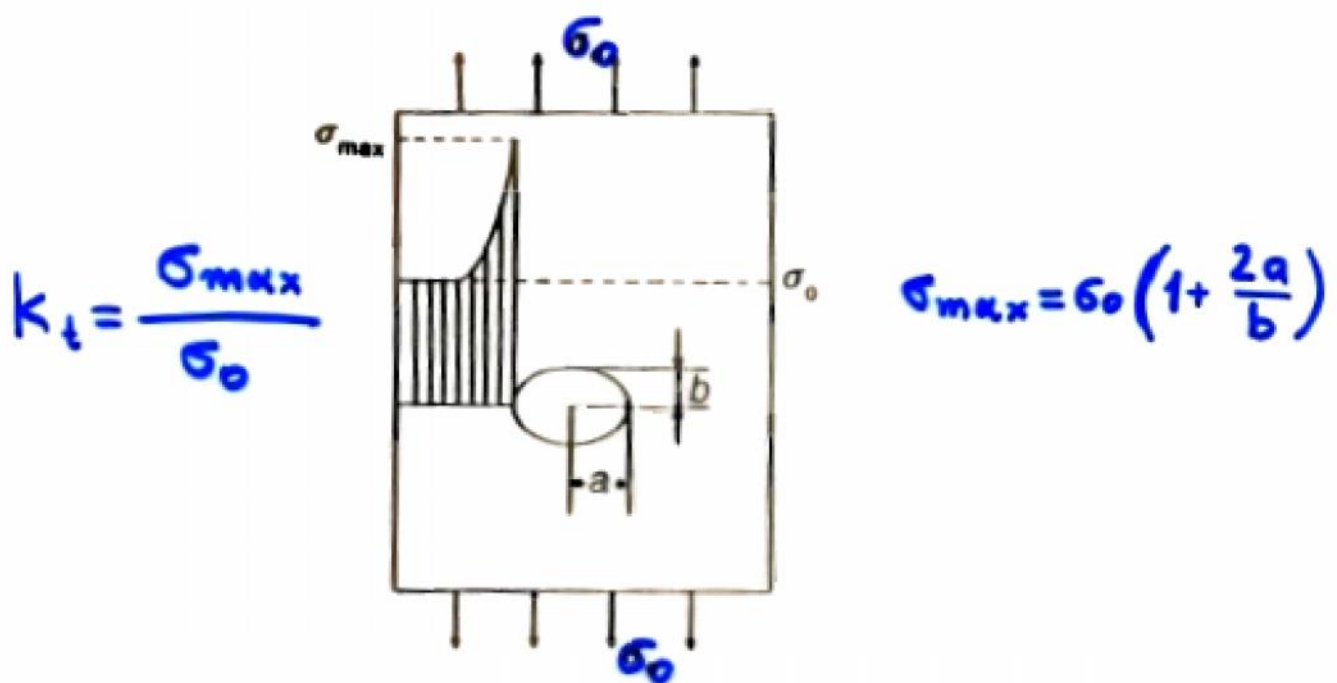


Figure 7.1 Stress concentration near an elliptic hole

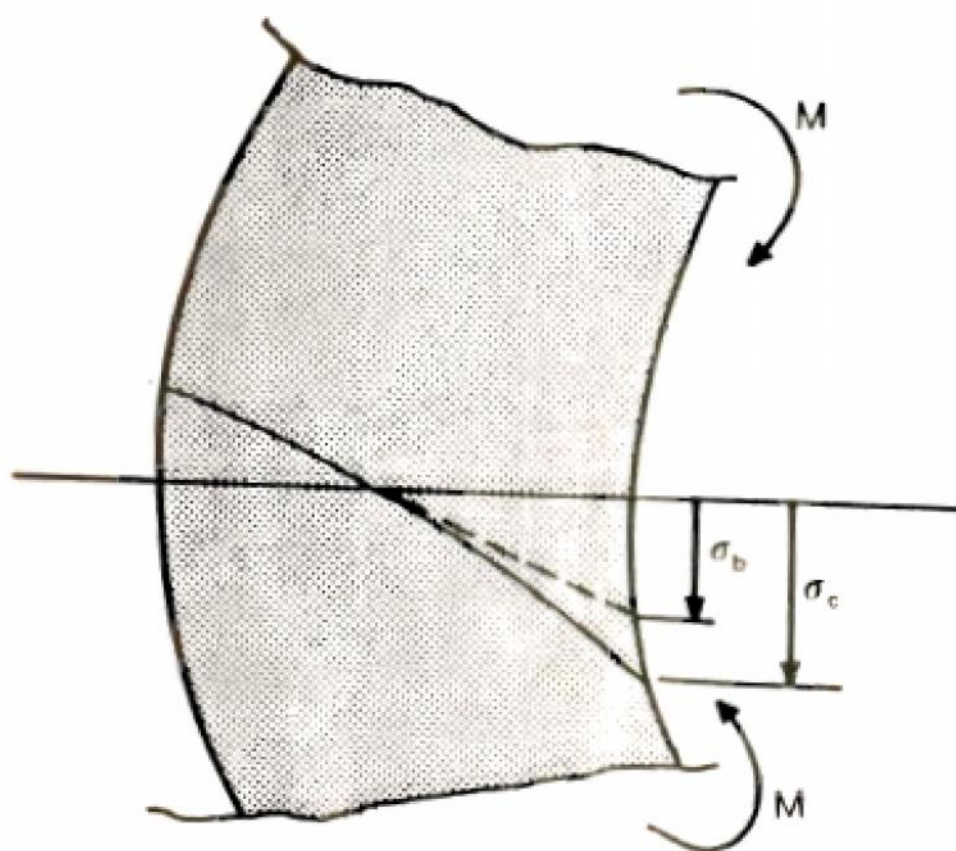


Figure 7.2 Stress concentration on a curved beam

Συγκέντρων τάσεων σε επιφανειακή πίεση
(Φωτοελαστική μέθοδος)

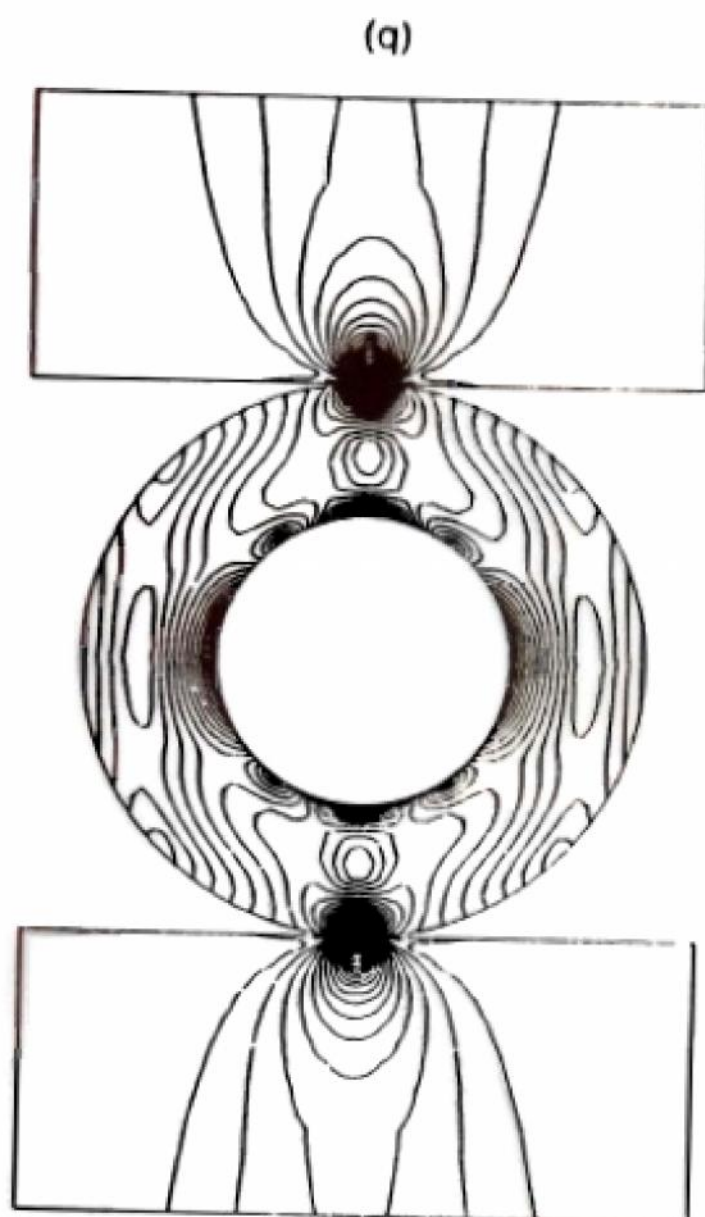


Figure 7.3 (a) Photoelastic demonstration for stress concentration; (b) Finite-element analysis for stress concentration. (Courtesy ASME)